Nankinov D. 1992. The nesting by the Herring Gull (*Larus argentatus*) in the towns and villages of Bulgaria. Avocetta 16: 93–94.
Neubauer G., Zagalska-Neubauer M., Betleja J. 2007. The origin of 'Caspian Gulls' breeding in Poland. Brit. Birds 100: 552–557.
Patton S.R., Southern W.E. 1978. The Effect of Nocturnal Red Fox Predation on the Nesting Success of Colonial Gulls. Proc. Col. Waterbird Group 1: 91–101.
Perlut N.G., Bonter D.N., Ellis J.C., Friar M.S. 2016. Roof-top Nesting in a Declining Population of Herring Gulls (*Larus argentatus*) in Portland, Maine, USA. Waterbirds 39: 68–73.
Rock P. 2005. Urban gulls: Problems and solutions. Brit. Birds 98: 338–355.
Rösler I. 2015. Population development of an inland large gull colony in Frankfurt am Main. Berliner Orn. Bericht 25: 18–35. [In German]
Samusenko I.E, Pyshko A.S., Bogdanovich I.A., Pavlushchick T.E., Haupt M. 2019. The largest in Belarus roof-top colony of large white-headed gulls: main results of 2018 investigations. Proc. of 5th International Scientific and Practical Conference "Zoological Readings – 2019", Grodno 2019; pp. 246–250.
Serra L., Andreotti A., Kirov D., Nardelli R., Nissardi S., Pirello S, Popov D., Sadoul N., Volponi S., Zucca C. 2016. Guidelines for management of the breeding populations of the Yellow-legged Gull *Larus michahellis* in the saltpans and coastal wetlands of the Mediterranean. Project LIFE10NAT/IT/000256. ISPRA, Serie Manuali e linee guida, 144/2016.
Soldatini C., Albores Barajas Y.V., Mainardi D., Monaghan P. 2008. Roof nesting by gulls for better or worse? Italian. Zool. 75: 295–303.
Southern W.E., Patton S.R., Southern L.K., Hanners L.A. 1985. Effects of Nine Years of Fox Predation on Two Species of Breeding Gulls. Auk 102: 827–833.
Vermeer K., Power D., Smith G.W.J. 1988. Habitat selection and nesting biology of roof-nesting Glaucous-winged Gulls. Col. Waterbirds 11: 189–201.
Zelenskaya L.A. 2019. Ecology of an Urban Population of the Slaty-Backed Gull (*Larus schistisagus*) in Comparison with Natural Colonies: 1. Features of Nest Location and Productivity. Biol. Bull. 46: 1108–1123.

Liczebność lelka *Caprimulgus europaeus* w Mazowieckim Parku Krajobrazowym

Ignacy Gołębiewski

Krasnobrodzka 8, 03-214 Warszawa, ignacygolebiewski@gmail.com

Lelek *Caprimulgus europaeus* zasiedla suche i prześwietlone siedliska borowe obfitujące w przestrzenie otwarte i częściowo zalesione, wrzosowiska, przesuszone torfowiska, wiatrołomy, pożarzyska lub wydmy (Alexander & Cresswell 1990, Dombrowski 2013). Wykazuje także tendencję do zasiedlania obszarów zmienionych antropogenicznie, jak młodniki lub poligony, gdzie może osiągać wysokie zagęszczenia (Polakowski et al. 2020, Wilk & Bobrek 2020). Zasięg występowania lelka obejmuje większość kontynentu europejskiego, wyłączając z tego obszary najbardziej wysunięte na północ i słabo zalesione, jak N Szkocja lub Islandia, oraz najwyższe partie gór (Hagemeijer & Blair 1997). Na całym kontynencie Europejskim lęgi odbywa od 614 000 do 1 100 000 par (BirdLife International 2015). W Polsce lelek gniazduje na większości obszaru kraju, a jego populacja jest nieliczna, lokalnie średnio liczna lub liczna (Grzywaczewski et al. 2015). Najwyższe zagęszczenia lelek osiąga w centralnej i wschodniej Polsce oraz na niżu, z wyjątkiem

Lubelszczyzny, Żuław Wiślanych, Wielkopolski, Śląska, Północnego Mazowsza oraz części Pomorza. Mniej licznie lęgnie się na zachodzie kraju oraz na południu (Dombrowski 2007), gdzie zasięg jego występowania dochodzi do około 900 m n.p.m. Według najnowszego oszacowania w kraju występuje 8–12 tys. par lęgowych (Chodkiewicz et al. 2019). Mimo zwiększającej się liczby prac dotyczących liczebności lelka w Polsce (Wilk & Bobrek 2020, Dębowski 2021), jego występowanie na niektórych obszarach, w tym na Mazowszu, jest niedostatecznie poznane (Tomiałojć & Stawarczyk 2003, Gryz & Krauze-Gryz 2016). Celem niniejszej pracy była ocena liczebności lelka w Mazowieckim Parku Krajobrazowym (MPK), dużym obszarze leśnym przylegającym do aglomeracji warszawskiej.

MPK, o powierzchni 15 710 ha, usytuowany jest na południowo-wschodnich obrzeżach Warszawy (woj. mazowieckie) w krainie Mazowiecko-Podlaskiej, w makroregionach Niziny Środkowomazowieckiej i Niziny Południowo-Podlaskiej (Solon et al. 2018). Większość jego powierzchni (łącznie 11 858 ha; 76%) stanowią kompleksy leśne zarządzane przez Nadleśnictwo Celestynów, z dominującymi siedliskami borów świeżych i mieszanych oraz obecnymi w mniejszym stopniu siedliskami lasów mieszanych, lasów liściastych i bagiennych olsów. Pozostałą część zajmują pola (1779 ha), torfowiska i łąki (1612 ha), wody (80 ha) oraz tereny zabudowane i ruderalne (834 ha) (Jaglak et al. 2005). Na terenie MPK znajduje się największy na Mazowszu kompleks torfowisk, tzw. „Bagno Całowanie", włączony do europejskiej sieci obszarów specjalnej ochrony Natura 2000 (Sobociński 2010).

Ocenę liczebności lelka wykonano w roku 2020 z zastosowaniem metodyki zaproponowanej przez Grzywaczewskiego et al. (2015), z modyfikacjami mającymi na celu uściślenie oceny liczebności gatunku. Korzystając z map serwisu Bank Danych o Lasach (BDL 2020), na obszarze MPK arbitralnie wyznaczono 10 powierzchni próbnych o rozmiarach 2 × 2 km, pomijając obszary najbardziej nieodpowiednie dla występowania lelka (tereny silnie zurbanizowane i niezadrzewione, np. pola, łąki) (ryc. 1). Powierzchnie próbne wyznaczono z poziomu mapy leśnej z uwzględnieniem opisu taksacyjnego oddziałów. Na powierzchniach próbnych wyznaczono punkty nasłuchowe oddalone od siebie o 300–800 m. Liczba i zagęszczenie punktów nasłuchowych były zależne od dostępności odpowiednich dla występowania lelka siedlisk na danej powierzchni próbnej. Między punktami przemieszczano się pieszo, a trasa przemarszu była ustalana w terenie za dnia. W jedno- bądź dwuosobowym zespole na każdej powierzchni przeprowadzono dwie kontrole, po jednej w czerwcu i lipcu, w odstępie co najmniej trzech tygodni. Na każdej powierzchni próbnej kontrole rozpoczynano 20 minut po zachodzie słońca lub 2 godziny przed brzaskiem; kontrole trwały ok. 2 godziny, do spadku aktywności ptaków. W przypadku braku samoistnie odzywających się samców w punkcie nasłuchowym stosowano stymulację głosową odtwarzając głos godowy i klaskanie skrzydłami samca lelka. Stymulacja trwała 2 minuty z przerwą na nasłuch między 1 i 2 minutą, po stymulacji przez 3 minuty prowadzono nasłuch. W przypadku reakcji głosowej ptaków stymulacja była przerywana. Na mapie w skali 1:10 000 zaznaczano lokalizację samców odzywających się głosem godowym. Aby uniknąć wielokrotnego liczenia tych samych osobników śledzono przemieszczanie się samców. W ocenie liczebności nie uwzględniano ptaków stwierdzanych pomiędzy punktami nasłuchowymi oraz samic lub samców nie wykazujących zachowań godowych. Użycie latarki czołowej i lornetki pozwalało na określanie płci ptaków w locie na podstawie obecności białych plamek na skrajnych lotkach i sterówkach u samców lub ich braku u samic. Obserwacje prowadzono wyłącznie w bezwietrzne i bezdeszczowe noce, a w przypadku nagłego załamania pogody kontrola była

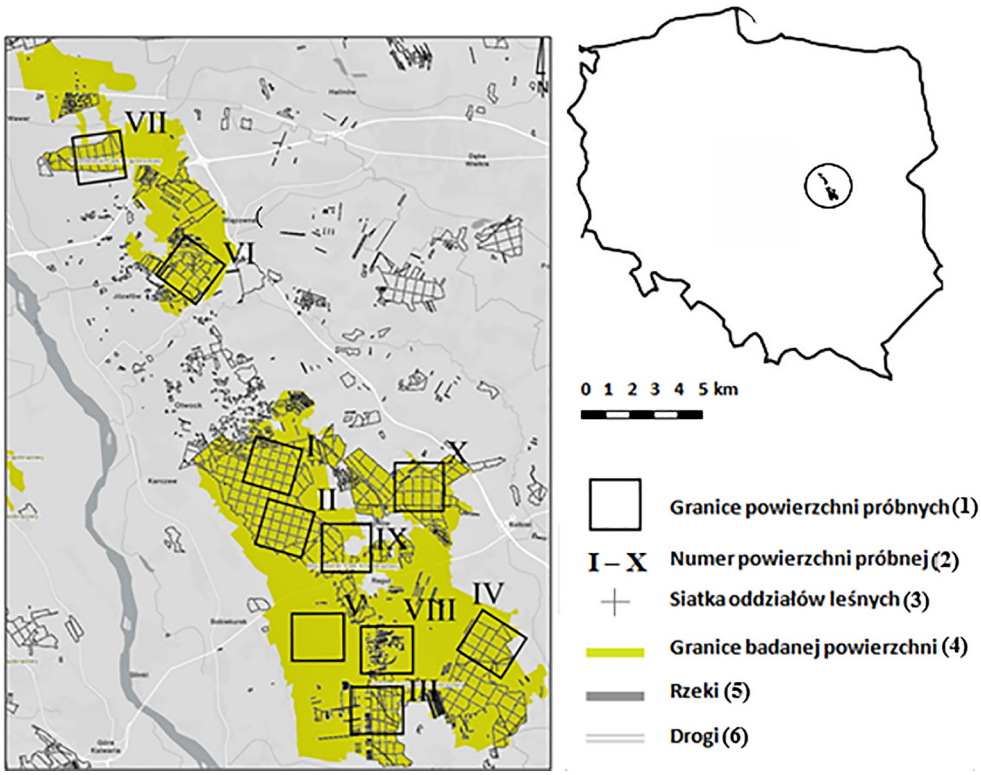

Ryc. 1. Rozmieszczenie powierzchni próbnych w Mazowieckim Parku Krajobrazowym. Mapa stworzona w oparciu o dane z Banku Danych o Lasach (2020)

Fig. 1. *Location of the study plots on the map of Masovian Landscape Park. Chart based on data from BDL (2020). (1) – borders of the sample plots, (2) – ID of the sample plot, (3) – forest subareas, (4) – borders of study area, (5) – rivers, (6) – roads*

powtarzana. Liczono wyłącznie samce lelka przyjmując, że ich liczba odpowiada liczbie par lęgowych w siedlisku. Liczbę par na określonej powierzchni próbnej wyznaczono na podstawie najwyższej liczby samców na każdym punkcie nasłuchowym odnotowanej w czasie pierwszej lub drugiej kontroli (Grzywaczewski et al. 2015). Na podstawie sumy par na powierzchniach próbnych i ekstrapolacji uzyskanych wyników z uwzględnieniem dostępności odpowiednich dla gatunku siedlisk, oceniono wielkość populacji lelka w całym MPK.

Podczas pierwszej kontroli na 6 powierzchniach próbnych wykryto łącznie 43 samce, cztery samice oraz dwa ptaki nieznanej płci. W trakcie drugiej kontroli na 5 powierzchniach próbnych odnotowano 46 samców i trzy samice (tab. 1). Maksymalny wynik z obydwu kontroli wskazuje na obecność 71 samców na 40 km^2 zbadanej powierzchni MPK.

Najliczniej lelek występował na powierzchniach I i II, znajdujących się w centralnej części MPK, porośniętych przez bór sosnowy świeży (niekiedy w wariancie z chrobotkiem *Cladonia* sp.). Na powierzchniach tych obecne były liczne młodniki sosnowe i wydmy, tzw. „Góry Łyse", z wrzosowiskami o powierzchni ok. 100 ha (ryc. 2). Liczebności na powierzchniach próbnych I i II wskazują, że najwyższe zagęszczenie, rzędu ok. 50 par/10 km^2 powierzchni, lelek osiąga w centralnej części MPK. W południowej części MPK odnotowano łącznie 6 samców lelka w młodnikach sosnowych częściowo zaba-

Tabela 1. Liczba samców stwierdzonych na powierzchniach próbnych w Mazowieckim Parku Krajobrazowym w czerwcu i lipcu 2020 roku
Table 1. *Number of males recorded on study plots in June and July 2020. (1) – study area, (2) – number of count points, (3) – date of visit on the study plot, (4) – number of males, (5) – total number of males, (6) – total*

Powierzchnia (1)	Liczba punktów nasłuchowych (2)	Data I kontroli (3)	Liczba samców (4)	Data II kontroli (3)	Liczba samców (4)	Łączna liczba samców (5)
I	13	01.06	11	01.07	21	25
II	14	02.06	9	03.07	10	15
III	13	03.06	7	04.07	12	14
IV	8	04.06	5	03.07	2	6
V	4	16.06	0	07.07	0	0
VI	9	06.06	6	05.07	0	6
VII	5	09.06	0	06.07	0	0
VIII	9	10.06	0	08.07	0	0
IX	8	15.06	5	07.07	1	5
X	7	17.06	0	07.07	0	0
Razem (6)	90		43		46	71

gnionej powierzchni IV i wysoką liczbę 14 par na powierzchni III, pokrytej młodnikami i przestrzeniami otwartymi, włącznie z szerokim nasypem kolejowym. Północna część MPK jest w znacznej części pokryta zwartym lasem liściastym, a jedyne stwierdzenia 6 samców lelka na tym obszarze odnotowano na powierzchni VI pośród nielicznych młodników sosnowych. Nie stwierdzono ptaków na powierzchniach próbnych V, VII, VIII, X. Pomiędzy kontrolą w czerwcu i lipcu nastąpił spadek liczby samców na powierzchniach IV, VI i IX. Zarówno podczas pierwszej i drugiej kontroli samce lelka odnotowano na 36% (32 z 90) punktów nasłuchowych. Podczas kontroli w czerwcu 31 stwierdzeń dotyczyło pojedynczych samców, 9 dwóch samców oraz trzykrotnie na punkcie nasłuchowym stwierdzono trzy samce. W lipcu 29 stwierdzeń dotyczyło pojedynczych samców, 14 razy odnotowano dwa samce oraz 3 razy cztery samce.

Powierzchnie próbne zajmowały łącznie 25,5% obszaru MPK. Poza powierzchniami próbnymi potencjalne siedliska optymalne dla lelka, takie jak świeże bory sosnowe z młodnikami, wrzosowiskami i/lub śródleśnymi powierzchniami otwartymi, zajmowały ok. 23–28% powierzchni MPK. Pozostałe ok. 48–54% obszaru MPK to obszary silnie zurbanizowane, otwarte, podmokłe, o zwartym drzewostanie i/lub z przewagą gatunków liściastych, a więc niedostępne dla lelka. Ekstrapolując wyniki z powierzchni próbnych na całkowitą powierzchnię dostępnych dla lelka siedlisk o wielkości ok. 7620–8400 ha, liczebność jego populacji w MPK oszacowano na 120–160 par, a przeciętne zagęszczenie na 11,8 par/10 km^2.

Według Dombrowskiego (2007) do utrzymania 40 par lelka niezbędne jest 6400 ha siedliska leśnego w dobrym stanie zachowania, z co najmniej 200 ha powierzchni otwartych. Powierzchnia niezalesiona obszaru leśnego w MPK wynosi ok. 200 ha (BDL 2020), co teoretycznie pozwoliłoby na gniazdowanie w MPK tylko 40 par lelka. Znacznie większa liczba stwierdzonych samców może wynikać z możliwości ich przemieszczania się w poszukiwaniu pokarmu nawet do 5,8 km (Alexander & Cresswell 1990) i współdzielenia większych płatów terenów otwartych (> 3 ha) przez 2 lub więcej ptaków (Glutz von Blotzheim & Bauer 1994). Lelki mogą również polować zarówno nad zbiornikami

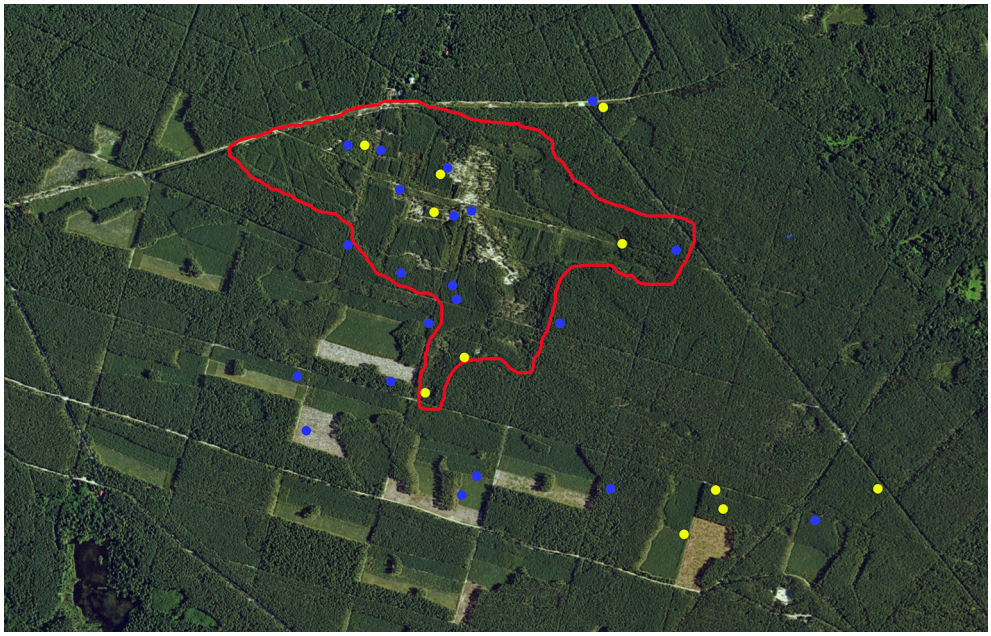

Ryc. 2. Zasięg wrzosowisk na ortofotomapie (obszar ograniczony czerwoną linią) z zaznaczonymi lokalizacjami odzywających się samców na powierzchni próbnej I (żółte punkty – kontrola czerwcowa, niebieskie punkty – kontrola lipcowa). Mapa stworzona w oparciu o mapę z BDL (2020)
Fig. 2. *Areas covered by heathlands on the orthophotomap (the area within the boundary of the red line) with locations of calling males on the study plot I (yellow points – June check, blue points – July check. Chart based on the map from BDL (2020)*

wodnymi, jak i podmokłymi łąkami i pastwiskami, których powierzchnia w MPK sięga odpowiednio 80 ha i 1612 ha (Alexander & Cresswell 1990).

Liczebność lelka w MPK jest bardzo wysoka biorąc pod uwagę fakt, że jedynie na kilkunastu spośród 25 dobrze zbadanych pod tym względem powierzchni w kraju, wielkość jego populacji przekracza 100 par lęgowych (Wilk & Bobrek 2020). Podobne liczebności lelek osiąga w znacznie większych kompleksach leśnych, takich jak Puszcza nad Gwdą czy Puszcza Biała (Sikora et al. 2020). MPK, mimo niewielkiej powierzchni w porównaniu do innych powierzchni badanych w Polsce, jest istotnym obszarem lęgowym lelka skupiając nawet 1–2% populacji krajowej. Zagęszczenie ok. 50 par/10 km^2 wokół wrzosowiska „Góry Łyse" i przylegających do niego zrębów w centralnej części MPK, o łącznej wielkości optymalnego siedliska leśnego ok. 20 km^2, było jednym z najwyższych odnotowanych do tej pory w Polsce. Podobnie wysokie zagęszczenie rzędu 41,6–47,2 par/10 km^2 stwierdzono na poligonie Lipa (Gustaw et al. 2007) oraz na poligonie Nowa Dęba w woj. podkarpackim, gdzie odnotowano 27,0–29,3 par/10 km^2 (Wilk & Bobrek 2020).

Wysoka liczebność i zagęszczenie lelka, zwłaszcza w centralnej części MPK, związana jest ze znacznym udziałem prześwietlonych borów sosnowych (z przewagą boru świeżego) poprzecinanych mozaiką młodników, wrzosowisk i starszych partii drzewostanów liściastych, głównie dębów *Quercus* sp. oraz brzóz *Betula* sp.; wcześniejsze badania wykazały, że siedliska takie obfitują w ćmy i chrząszcze będące podstawą jego diety (Kruszyk 2006). W połączeniu z dużymi powierzchniami otwartymi (powyżej 1,5 ha) pozwala to na efektywne żerowanie lelka (Alexander & Cresswell 1990). Wysokiej liczebności ga-

tunku sprzyja znaczne pokrycie młodnikami sosnowych w I klasie wieku (do 20 lat; ok. 7% powierzchni leśnej), z których znaczna część nie przekracza 10 lat i 3 m wysokości, stanowiąc preferowane miejsca odbywania lęgów (Berry 1979, Winkler 2008).

Brak stwierdzeń na niektórych powierzchniach zarówno w czerwcu, jak i lipcu mógł wynikać z braku (pow. V) lub niewielkiej liczby młodników (pow. VIII, X), wysokiego stopnia zwarcia lasu (pow. VII, VIII, X) oraz przewagi siedlisk wilgotnych (pow. X, V) i obszarów zurbanizowanych (pow. VII, VIII). Powody znacznego spadku liczby odnotowanych samców na powierzchni IX są trudne do wyjaśnienia, jednak na taki stan rzeczy pewien wpływ mogło mieć silnie zwarcie lasu (podobnie jak na powierzchni IV). W przypadku powierzchni VI głównym powodem braku stwierdzeń w lipcu mogła być wysoka antropopresja, m.in. bliskość zabudowań i duża penetracja obszaru lasu przez ludzi.

Inwentaryzacja lelka w MPK przeprowadzona w roku 1997 wykazała obecność co najmniej 55 par lęgowych oraz zagęszczenie 4,9 par/10 km^2 (Mazur 1998), podczas gdy w roku 2020 jego liczebność oceniono na 120–160 par, a zagęszczenie na 11,8 par/10 km^2. Według informacji z Banku Danych o Lasach stopień pokrycia drzewostanem I klasy (1–19 lat) w MPK w roku 2020 był zbliżony do wartości z roku 1997 (Mazur 1998). Pomiędzy latami 1997 a 2020 zmalała natomiast powierzchnia lasów iglastych i liściastych klasy II (21–40 lat), z 37% do ok. 8%, i III (41–60 lat), z 28% do ok. 18%, na rzecz lasów starszych w wyniku podwyższenia wieku rębności. W tym okresie nie odnotowano natomiast zmian w składzie gatunkowym lasów; w obu okresach dominowała sosna (95% udziału). Ponieważ do żerowania lelki preferują lasy nie starsze niż 40 lat o luźnym zwarciu (Alexander & Cresswell 1990, Sierro et al. 2015, Sharps et al. 2015), opisane zmiany w strukturze lasów MPK powinny spowodować raczej spadek wielkości populacji, a nie jej wzrost. Należy jednak wziąć pod uwagę fakt, że poprzedniej oceny liczebności dokonano wyłącznie na podstawie wyników liczeń ze zrębów i młodników, a uzyskany wynik uznano za wartość minimalną, podczas gdy niniejsza praca obejmuje również wyniki liczeń z wrzosowisk. Mając na uwadze fluktuacje liczebności lelka powodowane dynamicznymi zmianami w uprawach leśnych należałoby również zwrócić uwagę na monitoring gatunku w pozostałych siedliskach gatunku w Polsce, dla których istnieją dane referencyjne z lat wcześniejszych.

Summary: Abundance of the European Nightjar *Caprimulgus europaeus* in the Masovian Landscape Park. A survey of the European Nightjar *Caprimulgus europaeus* was conducted in the Masovian Landscape Park (Central Poland) in spring 2020. A total of 71 pairs were recorded during two visits in 10 square plots (2 × 2 km) including potentially appropriate nesting habitats. The total number of pairs of the Nightjar in the Masovian Landscape Park was estimated at 120–160. The average density in the forest area was 11.8 pairs/10 km^2. Compared to the survey from the 1990s, the numbers of the European Nightjar considerably increased. The highest ecological density (~50 pairs/10 km^2) was noted on a heathland in inland dunes "Góry Łyse" with the adjacent forest thicket and clearings.

Literatura

Alexander I., Cresswell B. 1990. Foraging by Nightjars *Caprimulgus europaeus* away from their nesting areas. Ibis 132: 568–574.

Bank Danych o Lasach 2020. Pobrano z: https://www.bdl.lasy.gov.pl/portal/mapy [Dostęp: 15/12/2020].

Berry R. 1979. Nightjar habitats and breeding in East Anglia. Brit. Birds 72: 207–218.

Cadbury C.J. 1981. Nightjar census methods. Bird Study 28: 1–4.

BirdLife International 2015. European Red List of Birds. Luxembourg: Office for Official Publications of the European Communities.
Chodkiewicz T., Chylarecki P., Sikora A., Wardecki Ł., Bobrek R., Neubauer G., Marchowski D., Dmoch A., Kuczyński L. 2019. Raport z wdrażania art. 12 Dyrektywy Ptasiej w Polsce w latach 2013–2018: stan, zmiany, zagrożenia. Biuletyn Monitoringu Przyrody 20: 1–80.
Dębowski P. 2021. Liczebność i rozmieszczenie lelka *Caprimulgus europaeus* w lasach Konecko-Przysuskich. Ornis Pol. 61: 329–334.
Dombrowski A. 2007. *Caprimulgus europaeus* – Lelek. W: Gromadzki M. (red.). Poradniki ochrony siedlisk i gatunków Natura 2000 – podręcznik metodyczny, Tom 8. Ministerstwo Środowiska, Warszawa.
Dombrowski A. 2007. Lelek *Caprimulgus europaeus*. W: Sikora A., Rohde Z., Gromadzki M., Neubauer G., Chylarecki P. (red.). Atlas rozmieszczenia ptaków lęgowych Polski 1985–2004. Bogucki Wydawnictwo Naukowe, Poznań.
Dombrowski A. 2013. Lelek *Caprimulgus europaeus*. W: Zawadzka D. (red.). Materiały do wyznaczania i określania stanu zachowania siedlisk ptasich w obszarach specjalnej ochrony ptaków Natura 2000, ss. 152–157.
Glutz von Blotzheim G., Bauer K.M. 1994. Handbuch Der Vogel Mitteleuropas, Band 9, Columbiformes – Piciformes, ss. 643–664. AULA-Verlag, Wiesbaden.
Gustaw W., Szewczyk P., Frączek T. 2007. Wysokie zagęszczenie terytoriów lelka *Caprimulgus europaeus* na poligonie w Lipie, SE Polska. Not. Orn. 48: 55–57.
Gryz J., Krauze-Gryz D. 2016. Nowe stwierdzenie lelka *Caprimulgus europaeus* w Warszawie. Kulon 21: 124–125.
Grzywaczewski G., Gustaw W., Dombrowski A. 2015. Lelek *Caprimulgus europaeus*. W: Chylarecki P., Sikora A., Cenian Z., Chodkiewicz T. (red.). Monitoring ptaków lęgowych. Poradnik metodyczny. Wyd. 2 uzupełnione, ss. 172–176.
Hagemeijer E.J.M., Blair M.J. 1997. The EBCC Atlas of European Breeding Birds: Their Distribution and Abundance, ss. 422–423. T&AD Poyser, London.
Jaglak E., Kołakowska J., Bujakowska T., Pikus E. 2005. Studium uwarunkowań zagospodarowania przestrzennego obszarów chronionych w województwie mazowieckim – Mazowiecki Park Krajobrazowy. Mazowieckie Biuro Planowania Przestrzennego i Rozwoju Regionalnego.
Kruszyk R. 2006. Numbers of the Nightjar *Caprimulgus europaeus* in a fire-burnt area near Kuźnia Raciborska. Not. Orn. 47: 130–134.
Mazur Z. 1998 msc. Liczebność i rozmieszczenie lelka *Caprimulgus europaeus* na terenie Mazowieckiego Parku Krajobrazowego. Praca magisterska, SGGW, Warszawa.
Polakowski M., Broniszewska M., Kirczuk L., Kasprzykowski Z. 2020. Habitat Selection by the European Nightjar *Caprimulgus europaeus* in North-Eastern Poland: Implications for Forest Management. Forests 11: 291.
Sharps K., Henderson I., Conway G., Armour-Chelu N., Dolman P. 2015. Home-range size and habitat use of European Nightjars *Caprimulgus europaeus* nesting in a complex plantation-forest landscape. Ibis 157: 260–272.
Sierro A., Arlettaz R., Naef-Daenzer B., Strebel S., Zbinden N. 2001. Habitat use and foraging ecology of the nightjar (*Caprimulgus europaeus*) in the Swiss Alps: towards a conservation scheme. Biol. Conserv. 98: 325–331.
Sikora A., Neubauer G.,Lubińska K., Chodkiewicz T. 2020. Rozmieszczenie i liczebność lelka *Caprimulgus europaeus* w OSO Wielki Sandr Brdy. Ornis Pol. 61: 71–87.
Solon J., Borzyszkowski J., Bidłasik M., Richling A., Badora K., Balon J., Brzezińska-Wójcik T., Chabudziński Ł., Dobrowolski R., Grzegorczyk I., Jodłowski M., Kistowski M., Kot R., Krąż P., Lechnia J., Macias A., Majchrowska A., Malinowska E., Migoń P., Myga-Piątek U., Nita J., Papińska E., Rodzik J., Strzyż M., Terpiłowski S., Ziaja W. 2018. Physico-geographical mesoregions of Poland: Verification and adjustment of boundaries on the basis of contemporary spatial data. Geographia Pol. 91: 143–170.
Tomiałojć L., Stawarczyk T. 2003. Awifauna Polski. Rozmieszczenie, liczebność i zmiany. PTPP „pro Natura", Wrocław.

Wilk T., Bobrek R. 2020. Wysoka liczebność lelka *Caprimulgus europaeus* na poligonie Nowa Dęba w Kotlinie Sandomierskiej. Ornis Pol. 61: 236–244.
Sobociński W. 2010. Bagno Całowanie. W: Wilk T., Jujka M., Krogulec J., Chylarecki P. (red.). Ostoje ptaków o znaczeniu międzynarodowym w Polsce, ss. 303–306. OTOP, Marki.
Winkler D. 2008. Habitat selection and territory change of European Nightjar (*Caprimulgus europaeus* L.) in the Sopron Mountains. Szelkialto 13: 3–14.

Czajka szponiasta *Vanellus spinosus* na liście ptaków krajowych

Tadeusz Stawarczyk[1], Marcin Faber[2]

[1] Muzeum Przyrodnicze UWr, Sienkiewicza 21, 50-335 Wrocław, tadeusz.stawarczyk@uwr.edu.pl
[2] marfaber@poczta.onet.pl

W dniu 24.09.2017 w miejscowości Strzelno (pow. mogileński, woj. kujawsko-pomorskie) Michał Piotrowski zaobserwował czajkę szponiastą *Vanellus spinosus*. Ptak zatrzymał się na polach uprawnych z błotnistym rozlewiskiem i przebywał w tym miejscu aż do 18.12.2017 (B. Kołodziejczyk i inni). Komisja Faunistyczna akceptowała tę obserwację, ale zakwalifikowała ją do kategorii D (Komisja Faunistyczna 2018). Analiza okoliczności obserwacji, fenologii i rozmieszczenia europejskich obserwacji tego gatunku skłania jednak obecnie Komisję do rewizji tego stanowiska. Zgodnie z kryteriami przyjmowanymi przez niektóre Komisje Rzadkości (np. brytyjską i niemiecką, Deutsche Avifaunistische Kommission 2013), aby wykluczyć możliwość pochodzenia ptaka z niewoli powinny być spełnione następujące warunki: ptak nie powinien wykazywać cech przetrzymywania w niewoli, posiadać obrączek hodowlanych (chyba, że nosi obrączkę z miejsca w naturalnym zasięgu gatunku), powinien zachowywać się jak dziki ptak, być stwierdzonym w środowisku typowym dla gatunku i pojawić się w odpowiedniej porze roku, zgodnie z fenologią gatunku.

Zaobserwowana czajka szponiasta spełnia wszystkie te kryteria. Ptak nie był zaobrączkowany i nie odnotowano oznak przebywania ptaka w niewoli, choć niektóre pióra okrywowe były znoszone, co jest jednak typowe o tej porze roku. W trakcie pobytu ptak aktywnie pierzył 4 skrajne lotki 1. rzędu, które musiały mieć około roku i były w bardzo dobrym stanie, bez uszczerbków, jedynie naturalnie wypłowiałe, brązowe, nie czarne. Gdyby ptak był trzymany w niewoli w środkowoeuropejskich warunkach pogodowych, to nawet gdyby te nieprzepierzone pióra były idealne, to nie powinny być tak spłowiałe ze względu na mniejsze nasłonecznienie. Pierzenie u obserwowanego osobnika czasowo pasuje do schematu pierzenia tego gatunku.

Długotrwały pobyt ptaka nie wydaje się być ewenementem, gdyż podobnie długi, niemal dwumiesięczny pobyt w jednym miejscu odnotowano dla czajki towarzyskiej *V. gregarius*, która przebywała pod Zagórzem (pow. kamieński, woj. zachodniopomorskie) w okresie od 27.09 do 19.11.2010 (Jasiński et al. 2012). Ponadto ptaki osiągające „zimowisko" przebywają na nim zwykle do wędrówki wiosennej.

Dodatkowo warto zwrócić uwagę na fakt, że w okresie poprzedzającym datę pierwszej obserwacji w końcu września panowały sprzyjające warunki pogodowe, gdyż znad Grecji i zachodniej Turcji w kierunku N występowały wówczas prądy strumieniowe z SE, co zwykle sprzyja pojawom ptaków południowych w naszej części Europy (earth :: a global map of wind, weather, and ocean conditions (nullschool.net).